



# 多机器人系统与控制

## 编队控制及其实实现

讲 授 人：董 伟 博士、副教授

E-mail: [dr.dongwei@sjtu.edu.cn](mailto:dr.dongwei@sjtu.edu.cn)



# 目录

一、机器人队形描述与数据结构

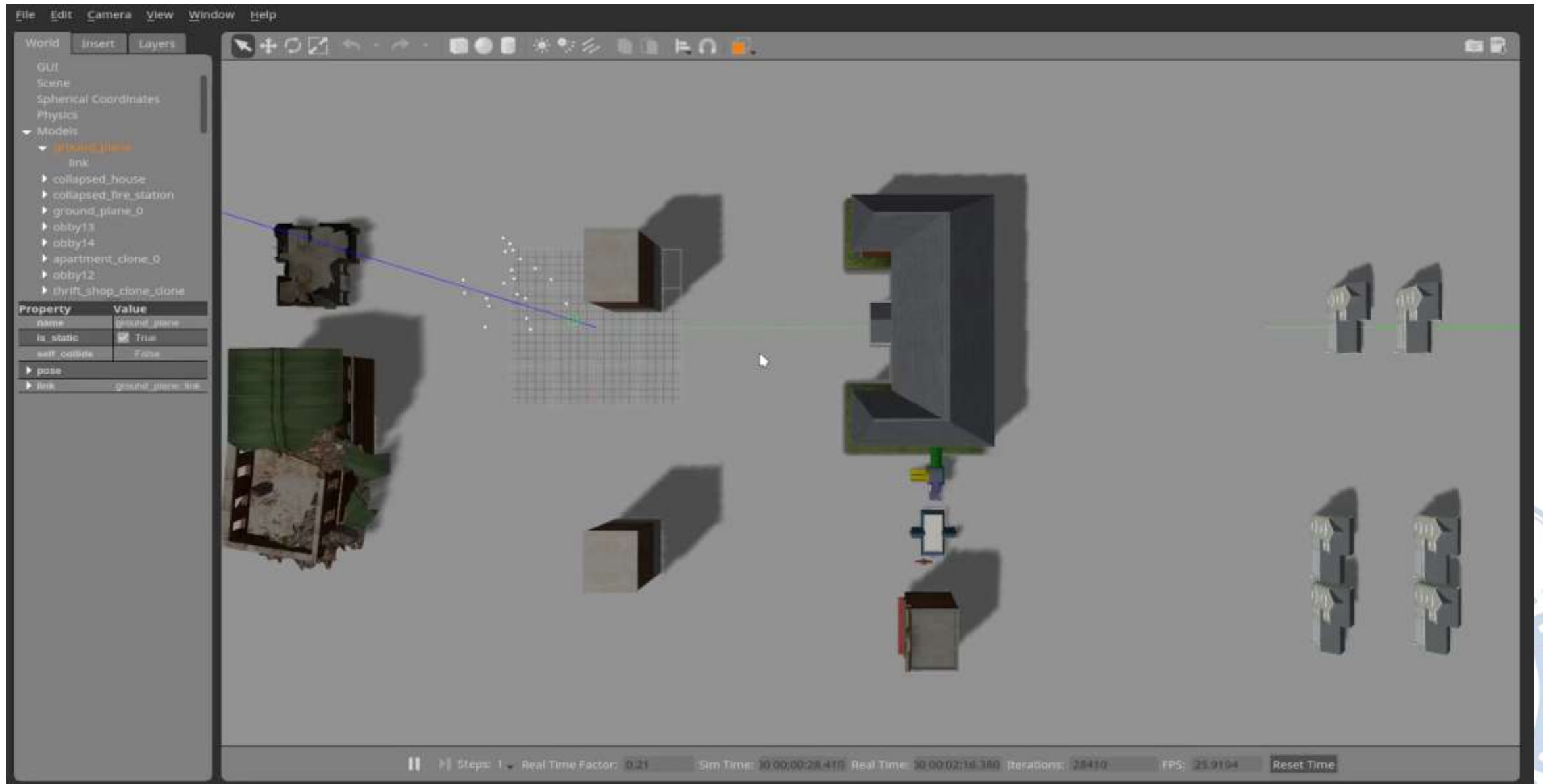
二、基于形状描述的队形控制

三、基于相对形状描述的队形控制

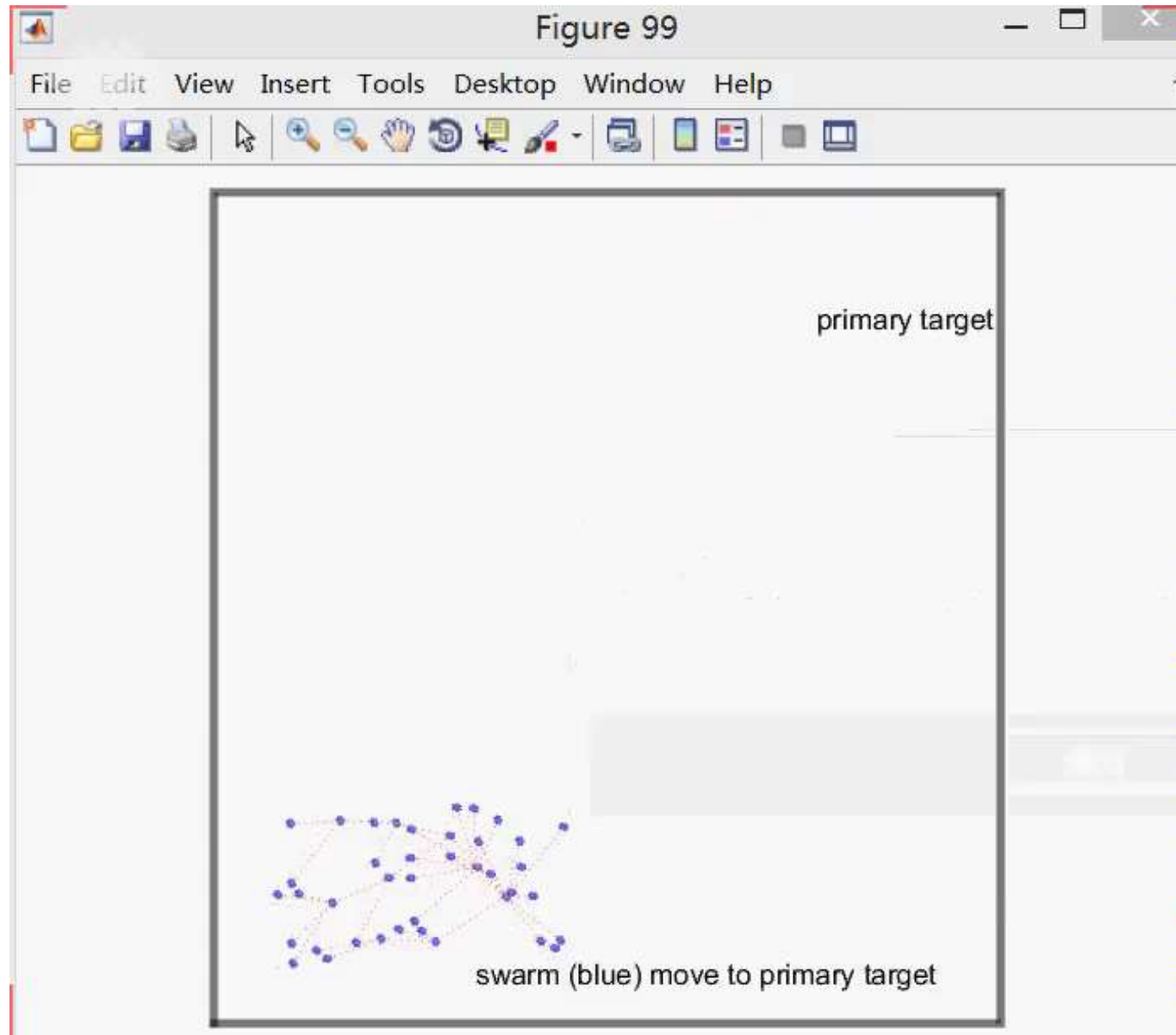
四、面向连通保持的队形控制



# 1.1 多机器人队形描述 - 巡查问题的例子



# 1.1 多机器人队形描述 - 编队控制中的拓扑结构



# 1.1 多机器人队形描述

## ④ 形状描述

### □ 形状表述方法-赋权图

$$\mathcal{G}_f = (V, E_f, w) \quad V: \text{顶点}, E_f: \text{边}, w(v_i v_j) = d_{ij}$$

### □ 回忆：完全图—任意两节点间均有边相联

### □ 完全图是否是必要的？

—通讯限制无法联接过长边；部分边为冗余联接；采用稀疏形式  
联接边更为恰当



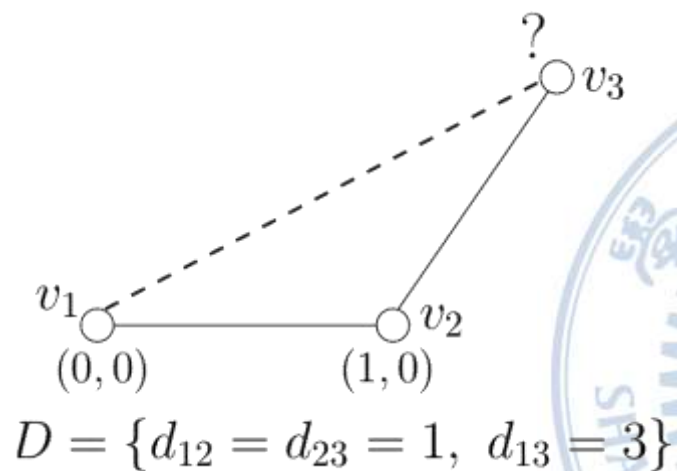
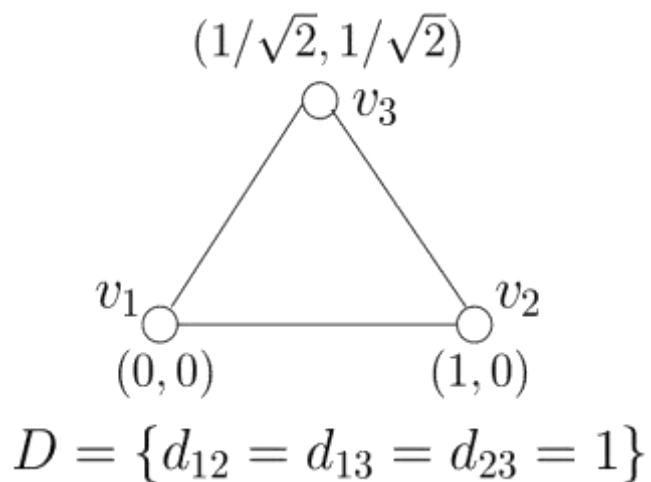
# 1.1 多机器人队形描述

## ⑥ 形状描述

### □ 形状的定义

$$D = \{d_{ij} \in \mathbf{R}^p | d_{ij} > 0, i, j = 1, \dots, n, i \neq j\}, d_{ij} = \|\mathbf{V}_i - \mathbf{V}_j\|$$

—形状定义应充分考虑其可行性

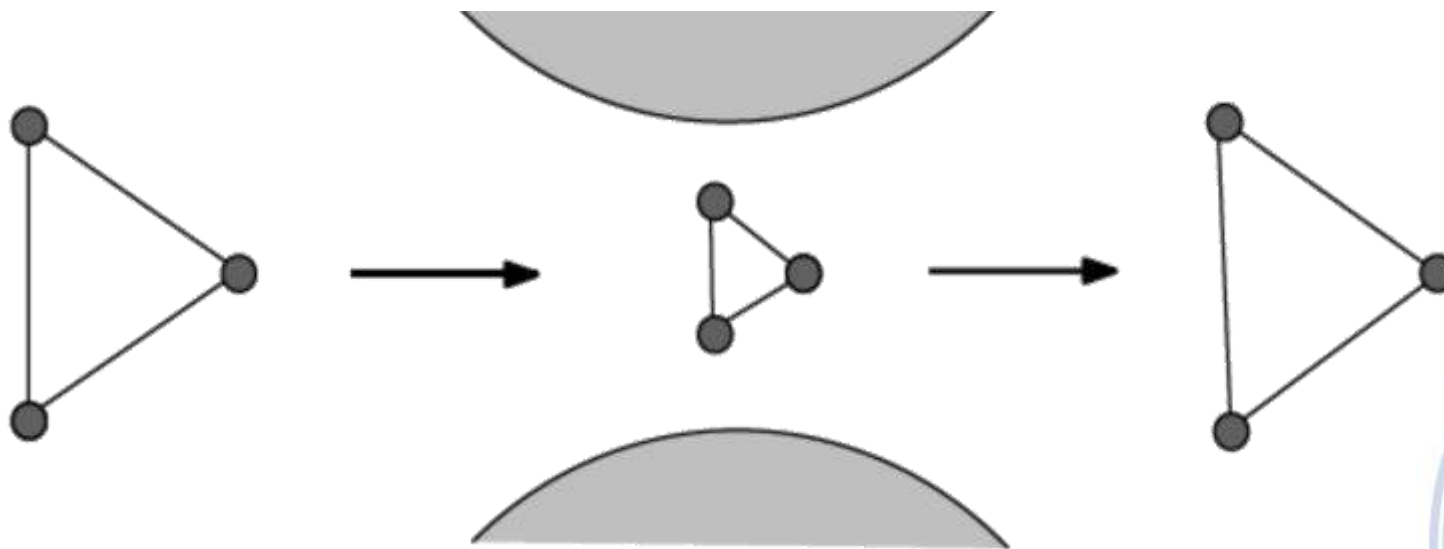


# 1.1 多机器人队形描述

## ⑥ 常见队形形状

### □ 缩放型队形

$$D' = \alpha D, \alpha \in \mathbf{R}^+$$



# 1.1 多机器人队形描述

## ⑥ 常见队形形状

### □ 刚性形状

$$\Xi = \{\xi_1, \xi_2, \dots, \xi_n\}, \xi_i \in \mathbf{R}^p$$
$$\|\xi_i - \xi_j\| = d_{ij}, \quad i, j \in \{1, 2, \dots, n\}$$

— 回顾：刚性形状所有顶点间距离维持常量

### □ 平动型形状

$$x_i = \xi_i + p(t), p(t) \in \mathbf{R}^p$$

— 不可转动的刚性形状





# 1.1 多机器人队形描述

## ⑥ 常见队形形状

$$D = \{d_{ij} = d_{ji} \geq 0, i, j = 1, \dots, n, i \neq j\}$$

形状	简记	表达式
缩放型队形	$D$	$\ x_i - x_j\  = \alpha d_{ij}$
刚性队形	$D$	$\ x_i - x_j\  = d_{ij}$
平动型队形	$\Xi$	$x_i = \xi_i + \tau$

# 1.1 多机器人队形描述

## ⑥ 队形的相对状态关系描述

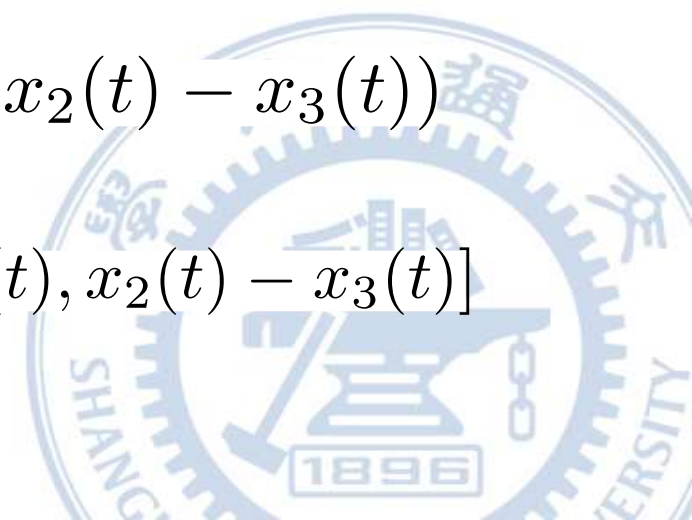
□ 以3个机器人为例，每个机器人位置表述为  $x_i, i \in [1, 3]$ ，则机器人相对关系描述为

$$z(t) = [x_1(t) - x_2(t), x_2(t) - x_3(t)]$$

— 机器人位置为矢量，式中暗含了机器人1与机器人3的相对

位置关系  $x_1(t) - x_3(t) = (x_1(t) - x_2(t)) + (x_2(t) - x_3(t))$

— 考虑虚拟原点：  $z(t) = [x_0(t) - x_1(t), x_1(t) - x_2(t), x_2(t) - x_3(t)]$



# 1.1 多机器人队形描述

## ⑥ 队形的相对状态关系描述

□ 相对状态关系可以采用矩阵形式简化表达

$$z(t) = \left[ \begin{bmatrix} 1 & 0 \\ -1 & 1 \\ 0 & -1 \end{bmatrix} \otimes \mathbf{I} \right]^T \begin{bmatrix} x_1(t) \\ x_2(t) \\ x_3(t) \end{bmatrix} \Rightarrow z(t) = D(\mathcal{D})^T x(t)$$

— 对于队形  $i$  向队形  $j$  的转换，表述为

$$T_{dj} D(\mathcal{D}_j)^T = D(\mathcal{D}_d)^T$$



# 1.1 多机器人队形描述

## ⑥ 队形的相对状态关系描述

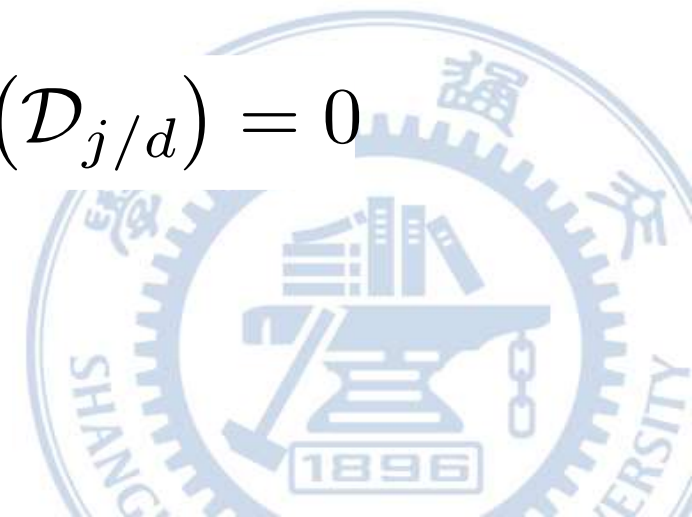
### □ 考虑三种情况下的状态转换

1) 任意图向子图的转换; 2) 树向图的转换; 3) 任意图向任意图的转换

### □ 图向子图的转换

$$T_{dj} = \begin{bmatrix} \hat{T}_{dj} & \tilde{T}_{dj} \end{bmatrix} \in \mathbf{R}^{m_d \times m_j} \Rightarrow \hat{T}_{dj} = \mathbf{I}, \tilde{T}_{dj} D(\mathcal{D}_{j/d}) = 0$$

一向子图的转换过程实际代表了图的降维过程



# 1.1 多机器人队形描述

## ④ 队形的相对状态关系描述

□ 树向图的转换：树  $j$  向图  $d$  的转换矩阵为

$$T_{dj} = D(\mathcal{D}_d)^T D(\mathcal{D}_j) \left[ D(\mathcal{D}_j)^T D(\mathcal{D}_j) \right]^{-1}$$

证明：根据定义  $D(\mathcal{D}_j) T_{dj}^T = D(\mathcal{D}_d)$  两边同时左乘  $D(\mathcal{D}_j)^T$  ,

可得  $D(\mathcal{D}_j)^T D(\mathcal{D}_j) T_{dj}^T = D(\mathcal{D}_j)^T D(\mathcal{D}_d)$

$D(\mathcal{D}_j)^T D(\mathcal{D}_j)$  可逆，整理后可得  $T_{dj}$



# 1.1 多机器人队形描述

## ⑥ 队形的相对状态关系描述

- 任意图向任意图的转换，根据问题分析，有以下两种思路
  - 先将图转换为具有树结构的子图，然后再实现树向图的转换
  - 先将图转换为完全图，然后再变换为目标图的子图



# 目 录

一、 机器人队形描述与数据结构

**二、 基于形状描述的队形控制**

三、 基于相对形状描述的队形控制

四、 面向连通保持的队形控制



## 2.1 静态队形控制

④ 设目标队形描述为  $\mathcal{G}_f = (V, E_f)$

- 对于任意边  $\{v_i, v_j\} \in E_f$  , 对应的顶点距离  $\|x_i(t) - x_j(t)\|$  应渐近收敛于  $d_{ij}$
- 如果  $\mathcal{G}_f$  为动态图, 则在有限时间  $T$  内, 队形需收敛于  $\mathcal{G}_f$  的一个静态父图, 即当  $t \geq T$  时, 有  $E_f \in E(t)$





## 2.1 静态队形控制

④ 假设目标队形位移  $\xi_i(t) = x_i(t) + \tau_i(t)$ ，可知平移量

$$\tau_i(t) = \xi_i(t) - x_i(t), i \in [1, n]$$

④ 为达到队形控制目标，所有队形成员  $\tau_i$  应为同一常量，即  $\tau_c \Rightarrow \tau_i - \tau_j = 0$ ，其中

$$j \in N_f(i), N_f(i) = \{j \in [1, n] | \{v_i, v_j\} \in E_f\}$$

④ 基于这一考虑，设计控制律

$$\dot{\tau}_i(t) = - \sum_{j \in N_f(i)} (\tau_i(t) - \tau_j(t))$$



## 2.1 静态队形控制

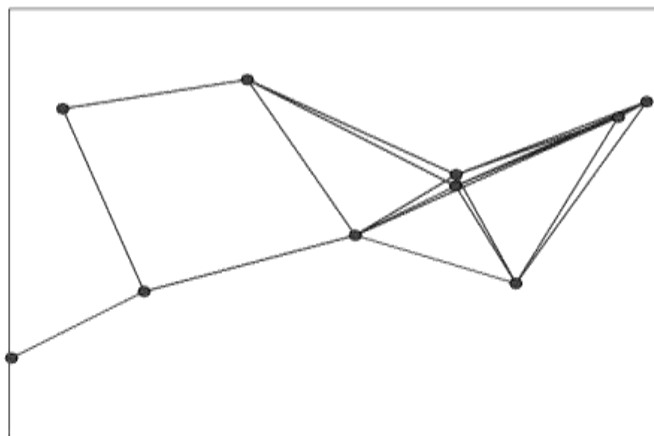
### ④ 代入机器人自身状态描述

$$\dot{x}_i(t) = - \sum_{j \in N_f(i)} (x_i(t) - x_j(t) - (\xi_i - \xi_j))$$

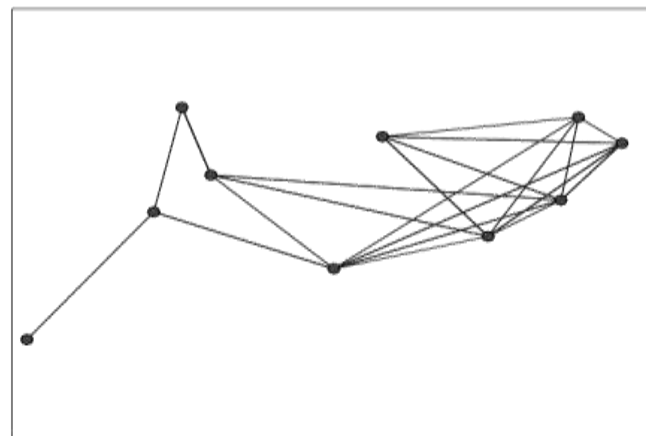
④ 定理2.1：当目标队形由图  $\mathcal{G}_f = (V, E_f)$  以及目标位置  $\Xi$  给定时，如果静态图  $\mathcal{G} = (V, E)$  满足  $E_f \subseteq E$ ，那么以上控制律将驱动机器人收敛于目标位置，即当  $t \rightarrow \infty$ ,  $x_i(t) - \xi_i \rightarrow \tau$

# 2.1 静态队形控制

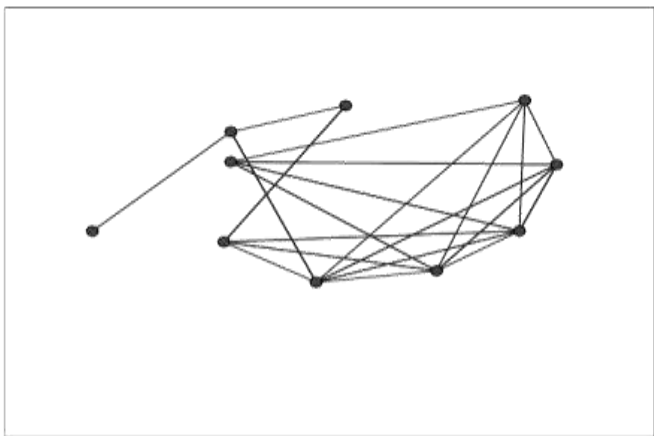
## 示意图



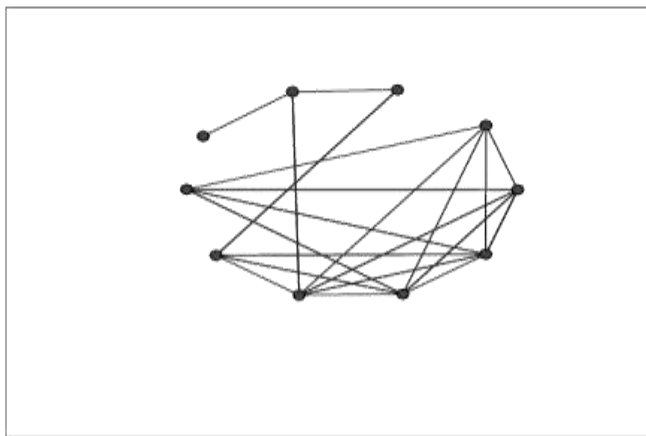
(a)  $t = 0$



(b)  $t = 0.5$



(c)  $t = 2$



(d)  $t = 5$



## 2.1 静态队形控制

推论2.1：若目标队形所有编队图集为 $E(t)$ ，给定目标编队图

$$\mathcal{G}_f = (V, E_f) \subseteq E(t)$$

采用静态图编队控制律，可渐进收敛于目标队形

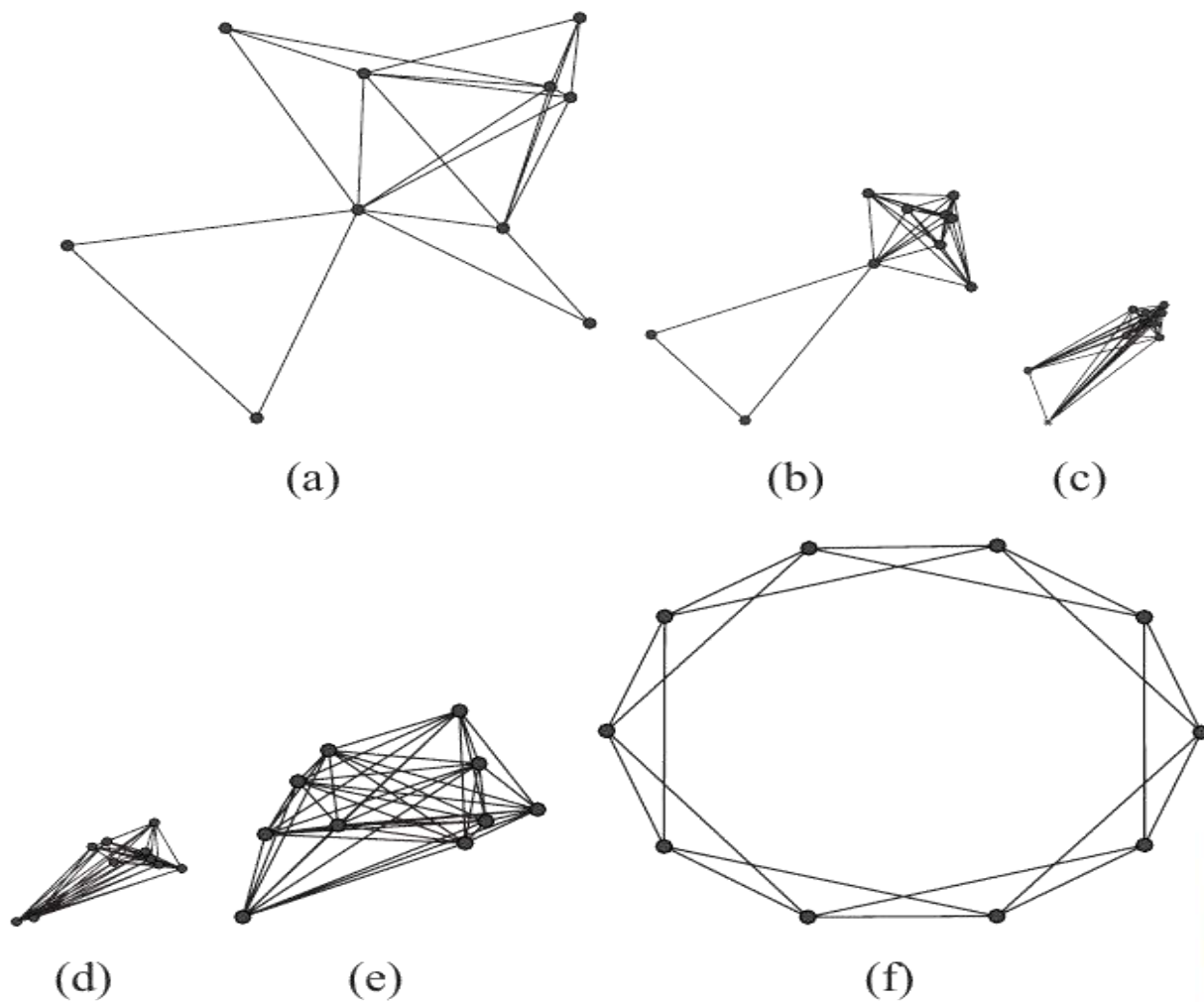
对于  $E_f \subseteq E(t)$  的情形，可先行转化为全连接图，然后再开展队形控制

若不满足条件  $E_f \subseteq E(t)$ ，则需要采用其它非线性方法



# 2.1 静态队形控制

## ⑥ 示意图



# 目 录

一、 机器人队形描述与数据结构

二、 基于形状描述的队形控制

**三、 基于相对形状描述的队形控制**

四、 面向连通保持的队形控制



# 3.1 单积分线性系统队形控制

## ④ 单积分线性系统队形控制

□ 首先考虑单积分动力学系统的情形:  $\dot{x}_i(t) = u_i(t), i \in [1, n]$

□ 若目标队形可采用树形有向图  $\mathcal{D}$  表示, 记  $z(t) = D(\mathcal{D})^T x(t)$

则编队误差为:  $e(t) = z_{ref} - z(t) \Rightarrow \dot{e}(t) = -D(\mathcal{D})^T \dot{x}(t)$

□ 从而可设计比例控制器  $u(t) = kD(\mathcal{D})e(t)$



# 3.1 单积分线性系统队形控制

## ⑥ 单积分线性系统队形控制

□ 闭环系统误差满足以下收敛性质：  $\dot{e}(t) = -kL_e(\mathcal{D})e(t)$

— 由于  $L_e(\mathcal{D}) = D(\mathcal{D})D(\mathcal{D})^T$  半正定，系统收敛性满足  $\lim_{t \rightarrow \infty} e(t) = 0$

□ 综上，所有个体均采用此控制律，输入设计为：

$$\dot{x}(t) = -kL_e(\mathcal{D})x(t) + kD(\mathcal{D})z_{ref}$$

— 当  $z_{ref} = 0$ ，则退化为一致性问题





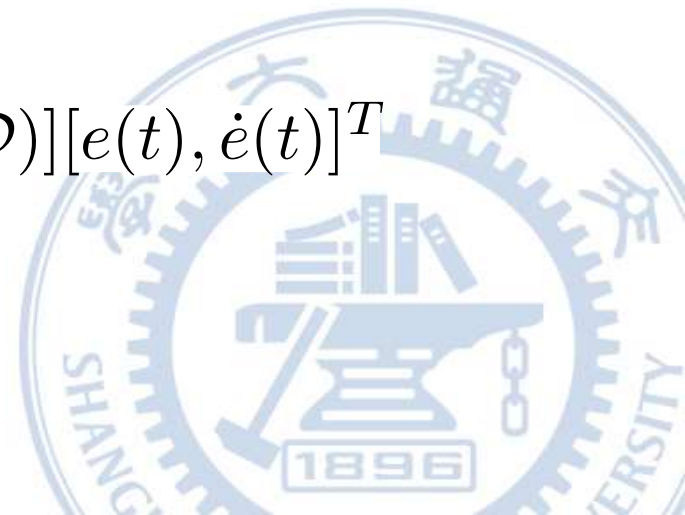
## 3.2 双积分线性系统队形控制

④ 类似的，对于双积分动力学系统： $\ddot{x}_i(t) = u_i(t), i \in [1, n]$

□ 若目标队形定义  $[z_{ref}(t)^T, \dot{z}_{ref}^T]^T$ ，编队误差为  $e(t) = z_{ref} - D(\mathcal{D})^T x(t)$

□ 求导并假定  $\ddot{z}_{ref} = 0$ ，可得  $\ddot{e}(t) = -D(\mathcal{D})^T \ddot{x}(t) = -D(\mathcal{D})^T u(t)$

□ 从而可设计比例型控制器  $u(t) = k[D(\mathcal{D}), D(\mathcal{D})][e(t), \dot{e}(t)]^T$



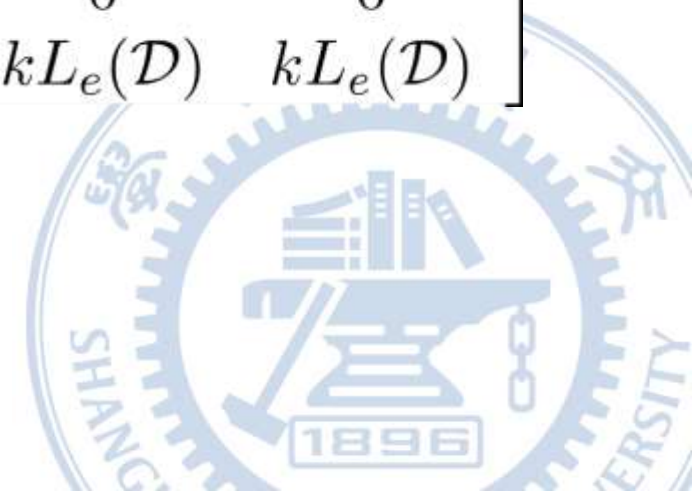
## 3.2 双积分线性系统队形控制

④ 前述控制律可重写为以下形式：

$$\frac{d}{dt} \begin{bmatrix} z(t) \\ \dot{z}(t) \end{bmatrix} = \mathcal{E}(\mathcal{D}) \begin{bmatrix} z(t) \\ \dot{z}(t) \end{bmatrix} + \mathcal{F}(\mathcal{D}) \begin{bmatrix} z_{\text{ref}}(t) \\ \dot{z}_{\text{ref}}(t) \end{bmatrix}$$

□ 其中

$$\mathcal{E}(\mathcal{D}) = \begin{bmatrix} 0 & I \\ -kL_e(\mathcal{D}) & -kL_e(\mathcal{D}) \end{bmatrix} \quad \mathcal{F}(\mathcal{D}) = \begin{bmatrix} 0 & 0 \\ kL_e(\mathcal{D}) & kL_e(\mathcal{D}) \end{bmatrix}$$



## 3.2 双积分线性系统队形控制

⑥ 以关联矩阵的形式，可表述如下：

$$\frac{d}{dt} \begin{bmatrix} x(t) \\ \dot{x}(t) \end{bmatrix} = \mathcal{L}(\tilde{\mathcal{D}}) \begin{bmatrix} x(t) \\ \dot{x}(t) \end{bmatrix} + \mathcal{D}(\tilde{\mathcal{D}}) \begin{bmatrix} z_{\text{ref}}(t) \\ \dot{z}_{\text{ref}}(t) \end{bmatrix}$$

$$\mathcal{L}(\tilde{\mathcal{D}}) = \begin{bmatrix} 0 & I \\ -kL(\mathcal{D}) & -kL(\mathcal{D}) \end{bmatrix} \quad \mathcal{D}(\tilde{\mathcal{D}}) = \begin{bmatrix} 0 & 0 \\ kD(\mathcal{D}) & kD(\mathcal{D}) \end{bmatrix}$$

$$\Rightarrow \ddot{x}(t) = -kL(\tilde{\mathcal{D}})x(t) - kL(\tilde{\mathcal{D}})\dot{x}(t) + kD(\mathcal{D})z_{\text{ref}}(t) + kD(\mathcal{D})\dot{z}_{\text{ref}}(t)$$



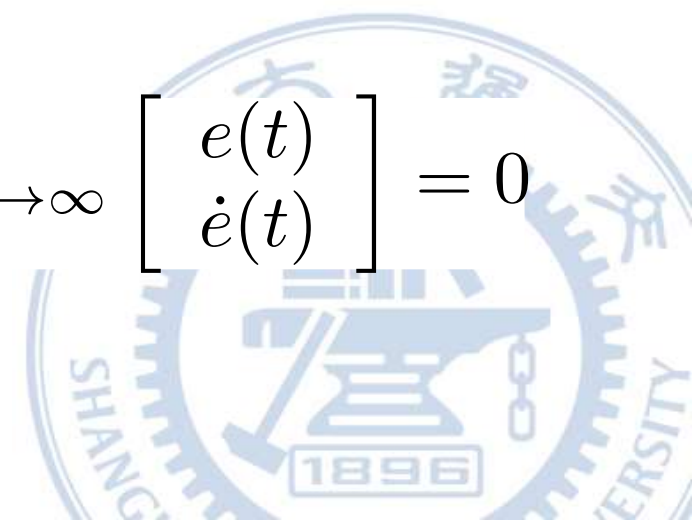
## 3.2 双积分线性系统队形控制 - 收敛性分析

④ 由于  $\lambda \neq -1$ , 特征方程等效为:

$$\det(\lambda^2/(\lambda + 1)I + kL_e(\mathcal{D})) = 0$$

□ 令  $\mu = \text{eig}(-kL_e(\mathcal{D}))$   $\mu_i = \lambda_i^2/(\lambda_i + 1) \Rightarrow \lambda_i = \frac{1}{2} \left( \mu_i \pm \sqrt{\mu_i^2 + 4\mu_i} \right)$

□ 由于  $k > 0$ ,  $\mu$  负定,  $\mathbf{A}_{cl}$  为 Hurwitz 矩阵  $\lim_{t \rightarrow \infty} \begin{bmatrix} e(t) \\ \dot{e}(t) \end{bmatrix} = 0$



### 3.3 惯性系统队形控制

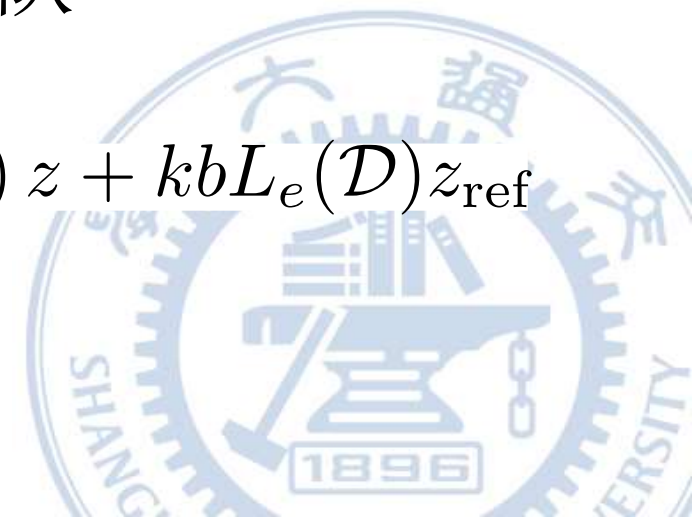
④ 考虑如下惯性系统:  $\dot{x}_i(t) = ax_i(t) + bu_i(t)$ ,  $i \in [1, n]$

④ 记目标编队图  $z(t) = D(\mathcal{D})^T x(t)$  可通过一定变换操作后得到:

$$\dot{z}(t) = az(t) + bD(\mathcal{D})^T u(t)$$

④ 设计控制律  $u(t) = kD(\mathcal{D})(z_{\text{ref}} - z(t))$ , 可得编队

④ 系统的闭环动力学描述:  $\dot{z}(t) = (aI - kbL_e(\mathcal{D}))z + kbL_e(\mathcal{D})z_{\text{ref}}$



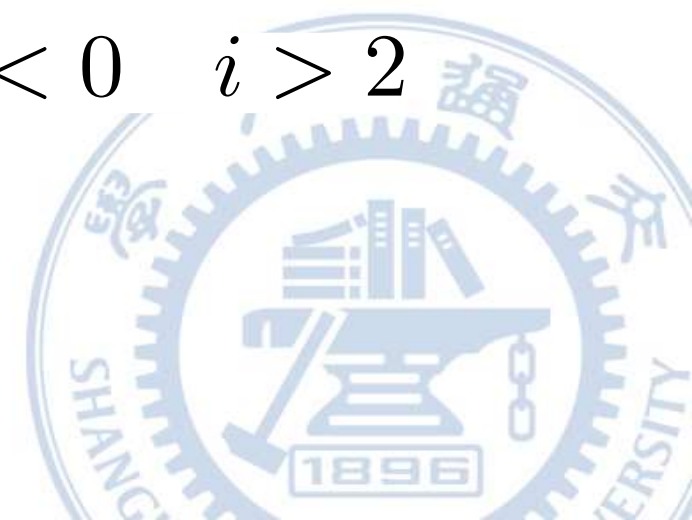
## 3.3 惯性系统队形控制

④ 系统稳定性是由如下矩阵的特征值决定的：

$$aI - kbL_e(\mathcal{D})$$

即为  $a - \lambda_i(\mathcal{G})kb, \quad i = 2, \dots, n$

④ 因此系统的稳定性由下式决定  $a - \lambda_i(\mathcal{G})kb < 0 \quad i > 2$



# 目 录

- 一、机器人队形描述与数据结构
- 二、基于形状描述的队形控制
- 三、基于相对形状描述的队形控制
- 四、面向连通保持的队形控制



# 4 基于赋权图的反馈控制

## ④ 队形控制

□ 目标队形表述为  $\tau_i \in \mathbf{R}^n$ ,  $d_{ij} = \tau_i - \tau_j$

□ 记位移  $y_i(t) = x_i(t) - \tau_i$ , 并令  $\ell_{ij}(t) = x_i(t) - x_j(t)$ ,

$\lambda_{ij}(t) = y_i(t) - y_j(t) = \ell_{ij}(t) - d_{ij}$ , 设计能量函数

$$\mathcal{V}_{ij}(\delta - \|d_{ij}\|, y) = \begin{cases} \frac{\|\lambda_{ij}\|^2}{\Delta - \|d_{ij}\| - \|\lambda_{ij}\|} & \text{if } \{v_i, v_j\} \in E_d \\ 0 & \text{otherwise} \end{cases}$$

➡ 从而可设计分布式控制律

$$\sigma(i, j) = 1$$

$$f(x_i(t) - x_j(t)) = -\frac{\partial \mathcal{V}_{ij}(\Delta - \|d_{ij}\|, y)}{\partial y_i}$$





# 4 基于赋权图的反馈控制

## ④ 队形控制

□ 控制律最终表达为:

$$\dot{x}_i(t) = - \sum_{j \in N_{G_d}(i)} \frac{2(\Delta - \|d_{ij}\|) - \|\ell_{ij}(t) - d_{ij}\|}{(\Delta - \|d_{ij}\| - \|\ell_{ij}(t) - d_{ij}\|)^2} (x_i(t) - x_j(t) - d_{ij})$$

对于每一维度而言  $\frac{dc(y(t), j)}{dt} = -L_w(\Delta - \|d\|, y(t))c(y(t), j), j = 1, \dots, n$

其中  $W(\Delta - \|d\|, y) = \text{Diag}(w_k(\Delta - \|d_k\|, y)), \quad k = 1, 2, \dots, |E_d|$

$$w_k(\Delta - \|d_k\|, y) = \frac{2(\Delta - \|d_k\|) - \|\lambda_k\|}{(\Delta - \|d_k\| - \|\lambda_k\|)^2}$$



# 4 基于赋权图的反馈控制

## ④ 队形控制

□ 引理4.1: 总能量方程定义如下

$$\mathcal{V}(\Delta - \|d\|, y) = \frac{1}{2} \sum_{i=1}^n \sum_{j=1}^n \mathcal{V}_{ij}(\Delta - \|d_{ij}\|, y)$$

若  $y_0 \in \mathcal{D}_{\mathcal{G}_d, \Delta - \|d\|}^\epsilon$ , 且  $\mathcal{G}_d$  为静态生成图, 则

$$\Omega(\Delta - \|d\|, y_0) = \{y \mid \mathcal{V}(\Delta - \|d\|, y) \leq \mathcal{V}_0\}$$

为前述能量方程引出控制作用下的状态不变集。



# 4 基于赋权图的反馈控制

## ④ 队形控制

□ 证明：由总能量方程引出的控制律

$$\dot{y}_i = - \sum_{j \in \mathcal{N}_{\mathcal{G}_d}(i)} \frac{\partial \mathcal{V}_{ij}(\Delta - \|d_{ij}\|, y)}{\partial y_i} = - \frac{\partial \mathcal{V}(\Delta - \|d\|, y)}{\partial y_i} = - \nabla_{y_i} \mathcal{V}(\Delta - \|d\|, y)$$

因而对于给定的初始  $y_0 \in \mathcal{D}_{\mathcal{G}_d, \Delta - \|d\|}^\epsilon$ ，与一致性控制等效，

$\Omega(\Delta - \|d\|, y_0)$  为不变集。



# 4 基于赋权图的反馈控制

## ④ 队形控制

□ 引理4.2: 给定初定状态  $y_0 = (x_0 - \tau_0) \in \mathcal{D}_{\mathcal{G}_d, \Delta - \|d\|}^\epsilon$ , 若

$$\dot{x}_i(t) = - \sum_{j \in N_{\mathcal{G}_d}(i)} \frac{2(\Delta - \|d_{ij}\|) - \|\ell_{ij}(t) - d_{ij}\|}{(\Delta - \|d_{ij}\| - \|\ell_{ij}(t) - d_{ij}\|)^2} (x_i(t) - x_j(t) - d_{ij})$$

则满足  $\|x_i(t) - x_j(t)\| = \|\ell_{ij}(t)\| < \Delta \quad (t > 0, \{v_i, v_j\} \in E_d)$

□ 证明: 对于连通节点  $i$  与  $j$ , 设若  $\|\lambda_{ij}\| = \|y_i - y_j\|$  趋近  $\Delta - \|d_{ij}\|$

由于  $\lim_{\|\lambda_{ij}\| \uparrow (\Delta - \|d_{ij}\|)} \nu_{ij} = \infty$ , 则  $\nu \rightarrow \infty$ , 这与引理4.1矛盾。因此

$$\|\ell_{ij}\| = \|\lambda_{ij} + d_{ij}\| \leq \|\lambda_{ij}\| + \|d_{ij}\| < \Delta - \|d_{ij}\| + \|d_{ij}\| = \Delta$$

# 4 基于赋权图的反馈控制

## ④ 队形控制

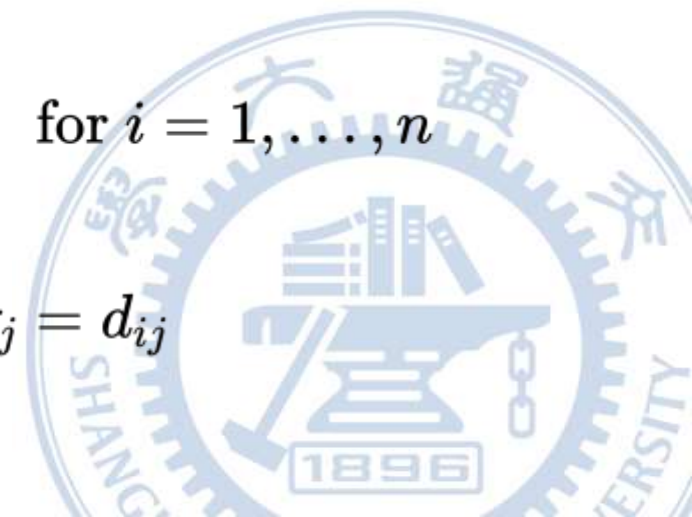
□ 定理4.1: 基于引理4.2同样的假设, 对生成图中的所有节点, 均满足  $\|\ell_{ij}(t)\| = \|x_i(t) - x_j(t)\|$  渐近收敛于  $\|d_{ij}\|$ 。

□ 证明: 由前述赋权一致性控制可知, 对于

$$\frac{dc(y, j)}{dt} = -L_w(\Delta - \|d\|, y)c(y, j), \quad j = 1, 2, \dots, p$$

渐近收敛, 可知  $\lim_{t \rightarrow \infty} y_i(t) = \lim_{t \rightarrow \infty} (x_i(t) - \tau_i) = \zeta, \quad \text{for } i = 1, \dots, n$

因此  $\lim_{t \rightarrow \infty} \ell_{ij}(t) = \lim_{t \rightarrow \infty} (x_i(t) - x_j(t)) = \zeta + \tau_i - \zeta - \tau_j = d_{ij}$



# 4 基于赋权图的反馈控制

## ④ 汇合-编队控制

□ 记 $K_n$ 为 $n$ 个机器人的完全图,  $K_n^\Delta$  为满足以下连接关系的完全图

$$\begin{cases} \mathcal{G} = K_n \\ \ell_{ij} \leq \Delta \quad \text{for all } i \neq j \end{cases}$$

若要在队形控制中满足定理3, 则要求初始条件

$$y_0 = (x_0 - \tau_0) \in \mathcal{D}_{\mathcal{G}_d, \Delta - \|d\|}^\epsilon$$

由于采用控制器  $u_i(t) = - \sum_{j \in \mathcal{N}_\sigma(i)} \frac{\partial \mathcal{V}_{ij}(\Delta, x)}{\partial x_i}$ , 系统将在有限时间内收敛于  $K_n^\epsilon$  ( $0 < \epsilon < \Delta$ )。此后, 编队控制可行。 因此可设定切换点以实行汇合-编队的切换。

# 4 基于赋权图的反馈控制

## ④ 汇合-编队控制

